

masının bir sonucu olduğunu kuvvetle düşünmüştür. Doğal olarak, aydaki ve yeryüzündeki ırmaç kanallarının morfolojik şekilleri arasında bir uyumluluk olduğunu ortaya koymuşlardır.

Kül Akıntıları : CAMERON (9) suların aşındırma olasılığını kabul etmemiş ve volkanik bir etki sonucu kül akıntılarının (*nuées ardentes*) ortaya çıkacağını belirtmiştir. O'KEEFE (10) kül akıntıları görüşünü genel olarak kabul etmektedir.

Lav Akıntıları : Kırımlı derelerin lav akıntılarının ürünleri olduğunu KUIPER ve diğerleri (11) öne sürmüştür. Okyanusların lav alanları olduğu ve lavların «bulunan magmalardan» yüzeye çıktıığı düşünülmüştür.

Kırılma : QUAIDE (12) derelerin gevrek kabuğun kemerler biçiminde kıvrımlanması sonucu oluşan tansiyon kırıkları olduğunu kabul etmiştir. Buraya kadar olan varsayımlar, gerek sulu akıntılar, gerek kül veya lav akıntıları, gerekse kırılma, bazı güçlüklerle karşılaşırlar. Her bir yazanın görüşlerini ortaya koymak yapılacak bir tartışma sınırlı olacak ve karşılaşılmalı (*yerküre-ay*) ve nitel bir tanımlamanın bir noktada dışına çıkamayacaktır. Bununla birlikte, öyle görülmüyor ki, ortaya konulan en iyi görüşler, sulu akıntılar kuramı ile ilgili olarak yapılan tartışmalardan sağlanmıştır.

SONUÇLAR

Yukarıda derlenmiş olan çalışmalardan çıkan sonuçları aşağıdaki gibi sıralayabiliriz :

- 1) Aydaki kıvrımlı dereler, eğim aşağı inildikçe (kaynaktan uzaklaşıkça) siğlaşmakta ve daralmaktadırlar.
- 2) Ay yüzeyindeki derelerde, yeryüzündeki akarsu yataklarında olduğu gibi, yanal ve dikey akarsu aşındırmamasına rastlanmamaktadır. Dereler dik yamaçlıdır ve dere kolları görülmemektedir.
- 3) Ay yüzeyindeki derelerin oluşum mekanığı, yeryüzündeki akarsu yataklarınınkinden temel farklılıklar göstermektedir.

4) Ay yüzeyindeki dereler, yeryüzündeki mendereslerin geometrisiyle karşılaştırılabilecek ölçüde bir menderes geometrisine sahiptirler.

DEĞİNİLEN BELGELER

- [1] Peale, S., G. Schubert, and R. Lingenfelter (1968) : «Distribution of Sinuous Rilles and Water on the Moon»; Nature, Vol. 222, No. 5173.
- [2] Schubert, G., R. Lingenfelter, and S. Peale (1970) : «The Morphology, Distribution, and Origin of Lunar Sinuous Rilles»; Rev. Geophysics and Space Physics, Vol. 8, No. 1.
- [3] Graf, W. (1971) : «Hydraulics of Sediment Transport» (in Sec. 10.3.2); McGraw-Hill Book Co., Inc., New York, New York.
- [4] Zeller, J. (1967) : «Meandering Channels in Switzerland»; Intern. Assoc. of Sci. Hydrology, Symp. on River Morphology, Bern.
- [5] Costes, N. et al. (1969) : «Apollo 11's Soil Mechanics Investigation», in Preliminary Science Report; NASA SP-214.
- [6] Urey, H. (1967) : «Water on the Moon»; Nature, Vol. 216, No. 5120.
- [7] Gold, T. (1965) : «The Moon's Surface» p. 120, In «The Nature of the Lunar Surface»; Hess, W. et al. (Ed.), J. Hopkins Univ. Press, Baltimore, Maryland.
- [8] Lingenfelter, R., S. Peale, and G. Schubert (1968) : «Lunar Rivers»; Science, AAAS, Vol. 161, July.
- [9] Cameron, W.S. (1964) : «An Interpretation of Schröter's Valley...»; Amer. Geophysics Union, JGR, Vol. 69, No. 12, p. 2423.
- [10] O'Keefe, J. (1965) : «Lunar Ash Flow», in «The Nature of the Lunar Surface»; Hess, W. et al. (Ed.), J. Hopkins Univ. Press, Baltimore, Maryland.
- [11] Kuiper, G.P., R. Strom, and R. LePoole (1966) : «Interpretation of Ranger Records»; in Ranger VIII and IX (p. 40, p. 199), JPL TN 32-800.
- [12] Quaide, W. (1965) : «Rilles, Ridges, and Domes», Icarus, Vol. 4, pp. 309-389.

Şoşonit Kaya Birliğinin Özelliği ve Tektonik Yerleşmesi

Gregg W. MORRISON Geology Department. University of Western Ontario, Kanada.

Çeviri : ALİ DİNCEL, MTA Genel Müdürlüğü Jeoloji Dairesi, Ankara.

ÖZ

Şoşonitik kayaların belli başlı oluşumlarının yeniden gözden geçirilmesi, bunların hemen hemen silisçe doygun, K'ca zengin ve düşük demir zenginleşmesi

Oslo'da yayınlanan LITHOS dergisinin 1980 yılı 13 no.lu sayısının 97-108 sayfalarındaki «Characteristics and Tectonic Setting of the Shoshonite rock association» adlı makaleden kısaltılarak Türkçeleştirilmiştir.

bakımından kalkalkalen veya ajkali bazalt birliklerinin bir kısmı olarak sınıflanmalarının çok şüpheli sayılmayıcağını gösterir. Bu grup burada Şoşonit kaya birliği olarak anılacaktır. Şoşonit kaya birliğini oluşturan hipersten-olivin normatif bazaltları, düşük demir zenginleşmesi, yüksek $Na_2O + K_2O$, yüksek hafif iyon litofil elementleri içeriği, yüksek fakat değişebilir Al_2O_3 , yüksek Fe_2O_3/FeO ve düşük TiO_2 ile karakterizedir. Mineralojik özellikleri şunlardır :

hamur maddesinde plagioklas ve sanidinin beraberce mevcudiyeti, plagioklas fenokristallerinin K-feldispata büyümesi, plagioklas An₅₀₋₈₅ Ab₄₀₋₁₅ Or₁₀₋₆

düşük TiO₂ içeriği ve klinopiroksendeki demir zenginleşmesinin bulunması. Kita kenarındaki şoşonitik kayalar daha gençtirler. Stratigrafik olarak daha yükseltirler ve yüksek-K kalkalkalen veya kalkalkalen takımlara nazaran okyanus hendeğinden daha uzak mesafedirler. Fakat takımlar arasında tam bir geçiş vardır. Benzer bir zonlaşma bazı ada yarlarında oluşur. Diğer ada yarlarında ise takımların alana dönük zonlasmaları yoktur, fakat birbirini takip eden K'ce daha zengin lavlar, biraz dikleşmiş bir yitim zonunun üzerinde oluşturlar. Dikleşme başarısızlığa ve yitim zonunun hafifçe dokunmasına, ayrıca yay içinde yükselme ve blok faylanmasına yol açar. Şoşonitik kayalar en çok, ada yayı gelişmesinin bu fazıyla birliktedirler.

GİRİŞ

Şoşonit terimi J.P. Iddings tarafından Wyoming'deki Yellowstone Park'ta bulunan ortoklaslı bazaltlar için türetilmiştir. Iddings (1895), üyeler arasındaki tüm mineralojik ve kimyasal geçişler nedeniyle absarokit-şoşonit-banakit serileri olarak adlandırdığı kaya tipleri dizisini tanımlamıştır. Sonraları, üyeleri türümsel olarak differansiyasyonla birbirleyle ilgili olan bir kaya ailesi olarak absarokit-şoşonit-banakit serisine feldspatoidsiz latit grubunu da katmıştır (Iddings, 1909).

Joplin (1964, 1965) şoşonit magma serisi adını alkali bazalt magma serilerinin potasyumca zengin bir eşdeğer olarak saydığı bazaltikten traktikte kadar bir takım için kullanmıştır. Bir süre sonra, tek bir magma'nın beklenmeyen farklılaşmaları olarak hem silise doygun hem de silise doymamış asbölümüleri şeklinde genişleterek tanımlamış, daha sonra da şoşonit birligi olarak adlandırmıştır (Joplin, 1968).

Genç orogenik alanlardaki volkanik kayaların kimyasının yoğun bir şekilde araştırılması (Jakes ve White 1972'ye bakınız), birçok yazının şoşonit kaya birligi olarak saydıkları K'ca zengin kayaların tanınmasını sağlamıştır.

Kaya birlikleri (Jakes ve Gill 1970) majör element kimyası ile özellikle K₂O-SiO₂, toplam alkali içeriği, K₂O/Na₂O oranı ve demir zenginleşmesi (AFM diyagramlarında) ile tanımlanır. Her bir birligin tanımlanması petrojenetik bir yorumlama içermez, daha çok, daha eski orogenik alanlarla bilinen tektonik yerleşmenin genç volkanik kayaları arasındaki bir karşılaştırma yöntemi verir. Şoşonit birligi genç ada yarlarında tanıtan üç kaya birligidenden biridir (diğer ikisi toleyitik ve kalkalkalendir). Fakat kayalar benzer kimyasal özellikler ile ayrıca kita kenarlarında da incelenmişlerdir (Jakes ve White 1972).

Şoşonitik kayaların araştırılmış olusuklarının yeniden gözden geçirilmesi ile hem kalkalkalen hem de alkalene yakınlıklarıyla ayrıca şoşonit kaya birligi olarak incelenmesi gereken bir K'ca zengin hemen

hemen doygun kayalar grubunun mevcut olduğu anlaşılır. Kimyasal özelliklerinin bir listesi ve ortalama analizlerin tabloları şoşonit birligini diğer kaya birliliklerinden ayırmada yardımcı olur.

Şoşonit birligi ile diğer kaya birlikleri arasındaki stratigrafik ve yapısal ilişkiler, şoşonitik kayaların modern orogenik alanlarla karakteristik bir tektonik yerleşmesi olduğunu ortaya koyar. Şoşonit kaya birliginin tanınması daha eski orogenik alanların tektonik tarihçesini aydınlatmada yardımcı olabilir.

SEÇİLMİŞ VERİLER VE ADLAMA

Literatürdeki incelenmiş şoşonitik kayaların bilinen olusukları Irvine ve Baragar (1971)'ın tasarladığı şekilde sınıflandırılmıştır. Düşük demir zenginleşmeli, K'ca zengin, hemen hemen silise doygun bir kayalar grubu bu yöntemle şüphe bırakmayacak şekilde sınıflandırılamaz ve sonraki araştırmalar bunların diğer belirleyici kimyasal özelliklere sahip olduğunu göstermiştir (Tablo 1). İncelenmiş şoşonitik kayaların iki grubu bu sınıflandırımayla elimine edilmişlerdir. K'ca zengin bir doygun olmayan grup (Joplin'in (1968) doygun olmayan bölüm) alkali olivin bazaltların potasik serilerine ve bazı lösitik kayalara eşdeğерdir ve düşük toplam alkalili ve düşük K₂O/Na₂O lu bir grup ta K'ca zengin kalkalkalen kayalar olarak sınıflandırılmışlardır (MacKenzie 1976). Tablo 1 in kimyasal karakteristiklerine göre elde kalan veriler yeniden aksettirilmiştir. Analiz edilmiş örneklerin petrografik tanımlamaları alterasyon için kontrol edilmiştir. Bu % 2,5 ton fazla ateşe kaybı olan pek çok kayaları elimine etmiştir. Demir oksidasyon oranı Irvine ve Baragar (1971) yöntemiyle hesaplanmamıştır, çünkü altere olmamış şoşonitlik kayalar yüksek Fe₂O₃/FeO ve düşük TiO₂ ile karakterizedir.

Tablo 1 — Şoşonit birliginin kimyasal özellikleri.

- (1) Hemen hemen silise doygun bazaltlar (Normalitiv Ne veya Q içeriyor demektir).
- (2) Düşük demir zenginleşmesi (AFM diyagramında düz gidiş)
- (3) Yüksek toplam alkaliler (Na₂O+K₂O>%5)
- (4) Yüksek K₂O/Na₂O (> %50 SiO₂ de 0.6; > %55 SiO₂ de 1.0)
- (5) Düşük SiO₂ de K₂O-SiO₂ diyagramında dik pozitif eğim (<%45-57 SiO₂ de 0.5; Fakat >%57 SiO₂ de sıfır veya negatiftir).
- (6) P, Rb, Sr, Ba, Pb, hafif nadir toprak elementlerinde zenginleşme (potasyum zenginleşmesiyle uyum içinde).
- (7) Düşük TiO₂ (<%1,3)
- (8) Yüksek fakat değişebilir Al₂O₃ (%14-19).
- (9) Yüksek Fe₂O₃/FeO (>0,5).

Şoşonit kaya birligi kimyasal karakteristiğine göre tanımlanmış ve SiO₂ içeriğine göre asbölümlemiştir: bazaltlar %53 ten daha az SiO₂ içerirler, bazaltik andezitler %53-57 SiO₂, andezitler %57-63 SiO₂ ve dasitler %63 ten daha fazla SiO₂ içerirler. Çeşitli kaya tipleri ve ayrıca şoşonit ve diğer kaya birlikleri arasında tam bir bileşim geçisi vardır.

KİMYA

Şoşonitik kayalar için kullanılabilir kimyasal veriler Irvine ve Baragar'ın (1971) yaygın volkanik kayaların kimyasal sınıflaması ile toleyitik ada yayı ve kalkalkalen birliklerin (Jakes ve White 1972) alkali olivin bazaltlar birliliğinin (Manson 1967; Prinz 1967) kimyasal karakteristikleri karşılaştırılmıştır. Şoşonit birliliği hem kalkalkalen ve alkali olivin bazalt birlikleriyle genel özelliklere sahiptir, fakat hem de kendisini diğer kaya birliklerinden ayıran bazı kimyasal karakteristiklere sahiptir.

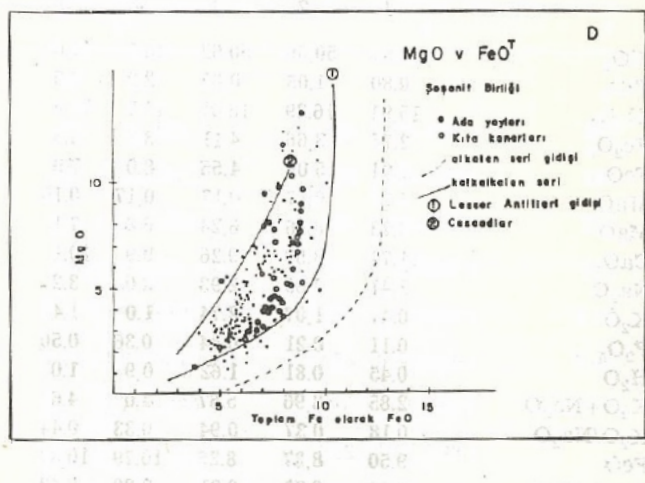
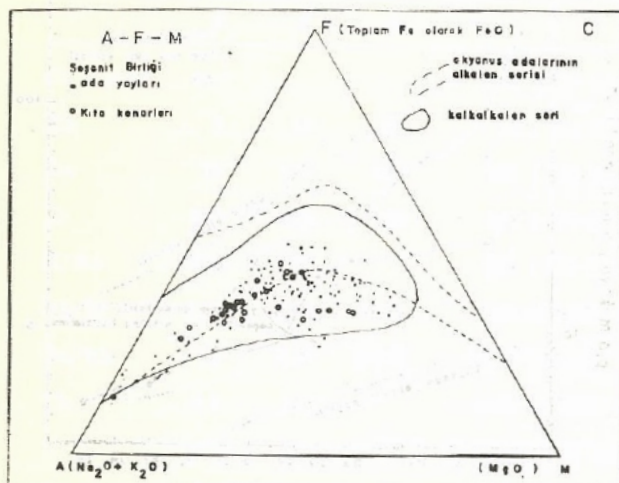
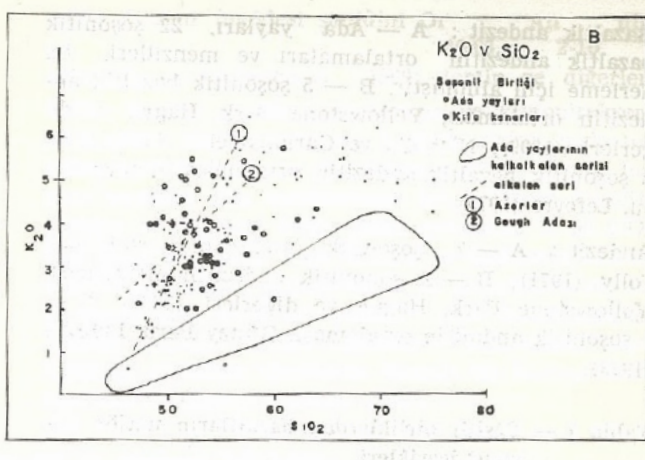
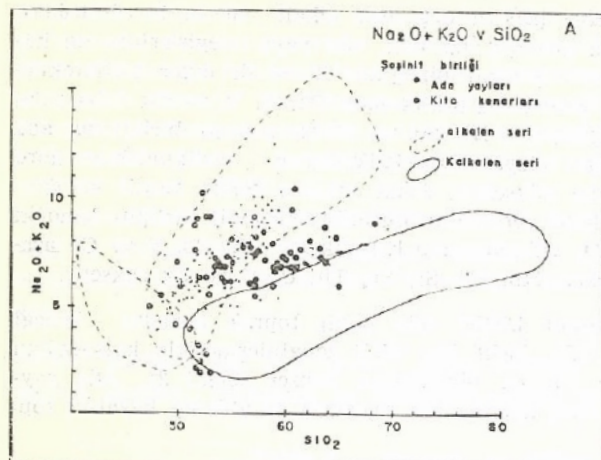
Ham $\text{Na}_2\text{O} + \text{K}_2\text{O} - \text{SiO}_2$ hem de $\text{K}_2\text{O} - \text{SiO}_2$ diyagramlarında (Şekil 1 A, B) şoşonit birliliği alkali alanına düşer, fakat $\text{Na}_2\text{O} + \text{K}_2\text{O} - \text{SiO}_2$ diyagramında bazı veriler (başlıca güney Peru'da, Lefevre 1973) kalkalkalen alanına geçişlidir ve $\text{K}_2\text{O} - \text{SiO}_2$ diyagramında normal alkali trendler için tipik olmayan bir yüksek silis «kuyruğu» çizilmiştir. $\text{K}_2\text{O} - \text{SiO}_2$ diyagramının kayda değer bir özelliği düşük SiO_2 içeriğindeki (>0.5 de %45-57 SiO_2) $\text{K}_2\text{O} / \text{SiO}_2$ nin dik meyli ve sonraki yassılılaşması ve hatta daha yüksek SiO_2 deki negatif meyildir. Diğer taraftan AFM diyagra-

mındaki (Şekil 1 C) ve daha açık olarak ta $\text{MgO} - \text{FeO}$ diyagramlarındaki (Şekil 1 D) eğriler şoşonit birliliği için bir kalkalkalen yakınılığı belirtirler. Lesser Antilleri (Tomblin 1968) ve Cascadalar (Smith ve Carmichael 1968) için trendler arasındaki tüm veriler çizilmiştir ve alkalen trende göre açıkça belirgin daha düşük toplam Fe içeriğine (daha az demir zenginleşmesi) sahiptir (Yoder ve Tilley 1962). Şoşonitik kayaların bu diyagramlarda alkalen veya kalkalkalen olarak şüphe görmeyecek şekilde sınıflandırılamamaları nedeniyle, bunlar belirgin bir kaya birliliği olarak alınmalıdır (Jakes ve White 1972).

Şoşonit birliliğindeki majör ve iz elementlerin ortalaması analizleri Tablo 2, 3 ve 4'te diğer kaya birliklerinin ortalaması analizleri ile karşılaştırılmıştır. Şoşonit birliliğinin karakteristik özellikleri yüksek Al_2O_3 , $\text{Fe}_2\text{O}_3/\text{FeO}$, toplam alkali, K_2O ve hafif iyon litofil elementleri (P, Rb, Sr, Ba, Pb) hafif nadir topak elementleri (NTE) düşük TiO_2 ve düşük silise doygunluktur. Sonuç olarak şoşonit birliliği diğer kaya birliklerinden şu şekilde ayrılabilir :

Tablo 2 — Majör element içerikleri ve Katyon normaları : Şoşonit birliliği

	Bazalt			Bazaltik andezit			Andezit		
	A	B	C	A	B	C	A	B	C
SiO_2	50.62 (47.83-52.99)	51.41	50.30	55.46 (53.60-56.50)	54.62	54.49	58.20	59.09	59.13
TiO_2	0.83 (0.18- 1.55)	0.83	1.92	0.93 (0.68- 1.84)	0.82	1.86	1.05	0.61	1.16
Al_2O_3	16.01 (11.94-20.05)	15.73	14.47	16.75 (14.20-20.00)	18.11	14.97	17.90	17.79	15.93
Fe_2O_3	4.11 (1.45- 7.00)	4.54	4.16	2.55 (1.21- 5.92)	3.92	4.96	2.55	3.85	4.87
FeO	4.55 (2.02- 6.65)	3.60	4.80	4.01 (1.30- 5.16)	3.22	3.34	3.40	1.07	1.18
MnO	0.17 (0.13- 0.21)	0.11	0.13	0.11 (0.07- 0.18)	0.11	0.13	0.07	0.05	0.11
MgO	6.24 (2.05-12.40)	5.98	8.02	4.81 (3.75- 9.20)	3.74	5.20	2.74	1.62	2.61
CaO	9.26 (7.62-11.65)	6.96	7.31	6.71 (3.01- 7.87)	5.68	6.37	3.19	3.59	4.71
Na_2O	2.93 (2.05- 3.55)	3.12	3.14	2.94 (2.15- 4.15)	3.48	3.60	3.18	4.48	4.08
K_2O	2.74 (1.24- 4.65)	3.86	2.66	3.66 (2.40- 6.05)	3.75	3.04	5.64	5.57	3.58
P_2O_5	0.44 (0.22- 0.74)	0.61	0.68	0.60 (0.01- 1.44)	0.47	0.77		0.37	0.53
H_2O	1.62 (0.58- 2.55)	3.11	2.80	1.21 (0.61- 2.71)	1.51	1.18		1.90	1.95
CO_2	0.16 (0.03- 0.25)	0.01		0.04 (0.02- 0.05)	0.58				
Toplam	99.68	99.87	100.39	99.78			100.01	99.91	99.98 99.84
$\text{K}_2\text{O} + \text{Na}_2\text{O}$	5.67	6.98	9.80	6.60			7.23	6.64	8.82 10.05 7.66
$\text{K}_2\text{O}/\text{Na}_2\text{O}$	0.94	1.24	0.85	1.24			1.08	0.84	1.77 1.24 0.88
Fe (T)	8.25	7.69	8.54	6.31			6.75	7.80	5.70 4.54 5.56
$\text{Fe}_2\text{O}_3/\text{FeO}$	0.91	1.26	0.87	0.64			1.22	1.49	0.75 3.60 4.13
Q				4.09			3.23	4.73	5.71 3.18 9.82
Or	16.38	23.46	16.02	21.92			22.59	18.25	34.01 33.30 21.67
Ab	26.81	28.82	28.74	26.76			31.85	32.84	29.15 40.70 37.53
An	22.93	18.02	17.88	22.00			23.17	15.97	16.16 12.13 14.94
Di	16.79	10.75	11.69	6.25			1.97	8.87	2.74 4.39
Hy	4.80	7.03	11.72	13.69			10.85	10.15	9.90 3.15 5.19
Ol	5.69	4.53	5.33						
Ort. Mkt	4.49	4.88	4.43	2.70			4.18	4.25	2.72 1.35 0.59
Ort. G	1.18	1.19	2.73	1.30			1.16	2.63	1.49 0.86 1.66
Hm									0.68 1.82 3.08
Ap	0.94	1.31	1.45	1.27			1.00	1.64	0.78 1.14



Şekil 1 — Şoşonit birliğinde majör element değişimleri-Şo şonitik kayalar yüksek $\text{Na}_2\text{O}+\text{K}_2\text{O}$ (özellikle K_2O) içerirler. İkinci nüfuslu elementlerin da olmasına rağmen, fakat düşük demir zenginleşmesi gösterirler. Ada yayı verileri şu yazarlardan alınmıştır: Eolian Yayı (Keller 1974; Ninkovich ve Hays 1972); Puerto Rico (Jolly 1971); Fiji (Gill 1970, Dickinson ve diğerleri 1968); Kuzey Papua Yeni Ginesi (Jaques 1976); Papua Yeni Gine yükseltileri (MacKenzie ve Chappell 1972, MacKenzie 1976); Managalése Platosu, Papua Yeni Ginesi (Ruxton 1966); Endonezya (Iddings ve Morley 1915, Joplin 1968), Kita kenarı verileri şu yazarlardan alınmıştır: Güney Peru (Lefevre 1973) ve Yellowstone Park, Wyoming (Iddings 1895, Hague ve diğerleri 1899, Nicholls ve Carmichael 1969). A= $\text{Na}_2\text{O}+\text{K}_2\text{O}-\text{SiO}_2$ diyagramı, kalkalcalen ve alkalic seri alanları Irvine ve Baragar (1971) den alınmıştır. B: $\text{K}_2\text{O}-\text{SiO}_2$ diyagramı. Kalkalcalen alanı Jakes ve Gill (1970) den, alkalic seri gidişi Azor adaları için Girod ve Lefevre (1972) ve Gough Adası için Le Maître (1962) den alınmıştır. C=A-F-M diyagramı, alkalic ve kalkalcalen alanları Irvine ve Baragar (1971) den alınmıştır. D=MgO-FeO^T (Toplam) diyagramı, alkalic seri gidişi Yoder ve Tilley (1962) den, Lesser Antilleri kalkalcalen gidişi Tomblin (1968) den, Cascades kalkalcalen gidişi Smith ve Carmichael (1968) den alınmıştır.

Toleyitik birlikten; daha yüksek $\text{Fe}_2\text{O}_3/\text{FeO}$, $\text{Na}_2\text{O}+\text{K}_2\text{O}$, K_2O , P, Rb, Sr, Ba, Pb ve hafif NTE ve düşük silisçe doygunluk, demir zenginliği, Ca ve normative hiperstenle ayrılır. Kalkalcalen birliğinden; yüksek $\text{Na}_2\text{O}+\text{K}_2\text{O}$, $\text{K}_2\text{O}/\text{Na}_2\text{O}$, P, Rb, Sr, Ba, Pb ve %57 den daha az SiO_2 deki yüksek $\text{K}_2\text{O}/\text{SiO}_2$ ve düşük silisçe doygunluk, demir zenginliği ve normative hiperstenle ayrılır. Alkali bazalt birliğinden; daha fazla silisçe doygunluk, daha yüksek SiO_2 ortalaması, $\text{Fe}_2\text{O}_3/\text{FeO}$, $\text{Na}_2\text{O}+\text{K}_2\text{O}$, P, Rb, Sr, Ba, ve Pb ve düşük demir zenginleşmesi, TiO_2 ve normative olivinle ayrılır.

Önemli birliklerdeki bazalt, bazaltik andezit ve andezitin nisbi oranları büyük ölçüde farklıdır. Bazaltlar alkalibazalt birliğinde, bazaltlar ve bazaltik andezitler şoşonit birliğinde, andezit ve bazaltik andezitler kalkalcalen birliğinde sayıca üstünürler.

Tablo 2 Açıklaması :

Bazaltlar: A — Ada yayları, 42 şoşonitik bazaltın ortalamaları ve menzilleri, bu derleme için alınmıştır. B — 21 şoşonitik bazaltın ortalaması, Yellowstone Park, Hague ve diğerleri (1899), Nicholls ve Carmichael (1969). C — Bir şoşonitik bazalt Güney Peru, Lefevre (1973).

Bazaltik andezit : A — Ada yolları, 22 şoşonitik bazaltik andezitin ortalamaları ve menzilleri, bu derleme için alınmıştır. B — 5 şoşonitik bazaltik andezitin ortalaması, Yellowstone Park, Hague ve diğerleri (1899), Nicholls ve Carmichael (1969) C — 8 şoşonitik bazaltik andezitin ortalaması, Güney Peru, Lefevre (1973).

Andezit : A — 2 şoşonitik andezitin ortalaması Jolly (1971), B — 2 sononitik andezitin ortalaması, Yellowstone Park, Hague ve diğerleri (1899). C — 6 şoşonitik andezitin ortalaması, Güney Peru, Lefevre (1973).

Tablo 3 — Çeşitli birliklerden bazaltların majör element içerikleri

	1	2	3	4	5
SiO ₂	51.57	50.59	50.62	48.5	47.0
TiO ₂	0.80	1.05	0.83	2.2	2.5
Al ₂ O ₃	15.91	16.29	16.01	16.3	15.8
Fe ₂ O ₃	2.74	3.66	4.11	3.1	3.3
FeO	7.04	5.08	4.55	8.0	7.9
MnO	0.17	0.17	0.17	0.17	0.16
MgO	6.73	8.96	6.24	6.6	7.1
CaO	11.74	9.50	9.26	9.9	10.1
Na ₂ O	2.41	2.89	2.93	3.0	3.2
K ₂ O	0.44	1.07	2.74	1.0	1.4
P ₂ O ₅	0.11	0.21	0.44	0.36	0.50
H ₂ O	0.45	0.81	1.62	0.9	1.0
K ₂ O + Na ₂ O	2.85	3.96	5.67	4.0	4.6
K ₂ O/Na ₂ O	0.18	0.37	0.94	0.33	0.44
FeO	9.50	8.37	8.25	10.79	10.87
Fe ₂ O ₃ /FeO	0.39	0.72	0.91	0.39	0.42

Katyon normları

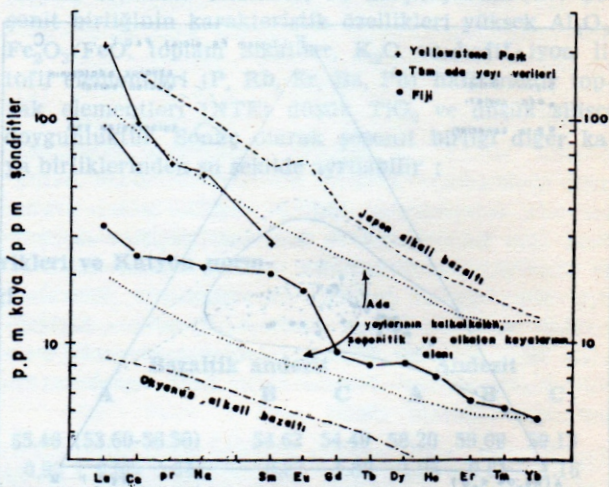
	2.11	6.30	16.38	6.00	8.38
Or	2.62				
Ab	21.84	25.84	26.81	27.34	24.62
An	31.60	28.21	22.93	28.48	24.95
Ne					
Di	21.19	13.91	16.79	15.21	18.05
Hy	16.39	14.79	4.80	7.93	
Ol		5.25	5.69	7.88	13.23
Mt	2.89	3.81	4.49	3.29	3.50
Il	1.13	1.46	1.18	3.11	3.53
Ap	0.23	0.44	0.94	0.76	1.06

- (1) Tipik ada yayı toleyitik bazaltı (Jakes ve White 1972, Tablo 2A).
 - (2) Tipik ada yayı kalkalkalen bazaltı (Jakes ve White 1972, Tablo 2A).
 - (3) 42 ada yayı şoşonitik bazaltının ortalaması (bu derleme için alınmıştır).
 - (4) 247 Olivin alkali bazaltın ortalaması (Manson 1967, Tablo IV).
 - (5) 661 alkali bazaltın ortalaması (Manson 1967, Tablo IV).

Şoşonit birliğinin iz element içerikleri (Tablo 4) majeör element trendlerini yansıtır. K tipi elementler (Rb, Ba, Sr ve Pb) şoşonit birliğinde oldukça zengin-

dirler (sayıca değerleri alkali olivin bazaltlarındaki-
nin yaklaşık iki katı, ada yayı toleyitlerinin on katı)
dır. Şoşonit birliğinde Y ve Zr diğer birliktekile-
re göre daha düşük iken Th, U, V, ve Cu daha yük-
sekdir. Cr, Ni, Co ve Sc ise şoşonit birliğinde, ada
yayı toleyit veya kalkalkalen birliğindekine göre
daha yüksektir, fakat alkalen olivin bazalt birliğin-
dekine göre daha düşüktür. Şoşonit birliğin içindeki
 SiO_2 yükselmesine karşılık Cu, Ni, Co, V ve Cr aza-
lırken, Rb, Ba, Sr, Pb, Th, U, Y ve Zr yükseksiniz.

Şoşonit birliği için nadir toprak element örneği (NTE) hafif bir NTE zenginleşmesiyle kalkalkalen ve alkalen birliliklerine benzer (Şekil 2). Ada yayalarının kalkalkalen sosoşnitik ve alkalen kavaları top-



Şekil 2 — Şoşonit birliği için normalleştirilmiş nadir toprak element modeli. Veriler Yellowstone Park için Nicholls ve Carmichael (1969) dan, Fiji için (iki analizin ortalaması) Gill (1970) den ve sekiz ada yayı şoşonitik bazaltının ortalaması için Gill (1970), Mackenzie (1976) ve Keller (1974) den alınmıştır. Japon alkali bazalt gidişi Philpotts ve diğerlerinden (1971), Okyanus alkali bazalt gidişi Gast (1968) den, ada yollarındaki kalkalkalen, şoşonitik ve alkalen kayaların alanı Jakes ve Gill (1970) den alınmıştır.

İam NTE içeriği (Jakes ve Gill 1970), okyanusal alkali bazaltlar (Gast 1968) ve Japon alkali bazaltları (Philpotts ve diğerleri. 1971) arasında ortactır.

MİNERALOJİ

Bazalt ve bazaltik andezit en yaygın soşonit kaya tipleridir. Bunlar bol miktarda olivin, klinopiroksen ve plajiolklas fenokristallerini camsı bir hamur maddesi içinde taşırlar. Olivin fenokristalleri, derecesi bilesim bakımından Fo_{15} ten Fo_{85} 'e kadardır. Ortalama Fo_{75} dir (Şekil 3) ve klinopiroksen kuşatmalarına nadiren sahiptirler. Ca'ca zengin ve Ti'ce fakir klinopiroksen fenokristalleri sıkça zonludurlar ve ojlit ve salit alanlardaki bilesimlerin bir derecesine

sahiptirler (Şekil 3), fakat nadiren bir demir zenginleşmesi trendi gösterirler (Joplin ve diğerleri 1972). Plajiolas fenokristalleri sanidin kenarlarına, salinan ve normal zonlanmaya, %10'a kadar Or'a (Nicholls ve Carmichael 1969) sahiptirler ve genellikle labradorit (An_{50-85}) tirler. Araştırmalarda andezit ve dasitlerde hipersten (Şekil 3), flogopit, hornblend ve kristobalitin fenokristaller olarak ve bazı bazaltlarda löosit oluşumlarının bulunduğu belirtilmiştir.

Hamur maddesi çok ince taneli, sıkça camsıdır ve başlıca sanidin, plajiolas ve klinopiroksenden iba-

rettir. Hamur maddesi sanidini Or_{40-65} , An_{2-10} dir.

(Nicholls ve Carmichael 1969; Joplin ve diğerleri 1972). Hamur maddesi plajiolası ve klinopirokseni bileşimde fenokristallerle birlikte olarak birbirine benzerler (Nicholls ve Carmichael 1969). Camsı hamur maddesi silis içeriklerinde bir değişimde sahiptir, (Joplin ve diğerleri 1972), fakat genellikle % 60 SiO_2 den daha büyütür. Bazı andezit ve dasitlerin hamur maddesinde biotit, ortopiroksen ve hornblend ve bazı bazaltlarda löosit oluşumları yine belirlenmiştir. Hamur maddesi olivini nadirdir. Kristobalit veya tridimit, şoşonitik dasitlerde önemli bir hamur maddesi fazı olabilirler (Lefevre 1973).

Tablo 4 — Şoşonit ve diğer birliklerin iz element içerikleri

	1	2	3	4	5	6	7
Cs (ppm)				0.85 (0.79-0.90)			
Rb	5	10	35	59 (24-187)	63 (14-109)	99 (98-590)	350
Ba	75	115	359	683 (380-992)	567 (370-1011)	658 (250-1300)	167
Sr	200	330	566	943 (520-2010)	956 (485-1473)	642 (480-930)	227
K/Rb	1000	340		416 (177-1093)	365 (105-666)	218 (94-235)	117
Rb/Sr	0.03	0.03	0.06	0.06 (0.02-0.125)	0.07 (0.03-0.12)	4.039 (0.25-0.68)	1.54
Ba/Rb	15	11.5	10.25	11.24 (0.48-35)	9.83 (4.6 -24.7)	2.76 (0.94-4.50)	0.48
Th	0.5	1.1		1.28 (0.79-2.70)	433. (3.78-4.86)	4.91 (3.92-5.63)	
U	0.15	0.2		0.57 (0.18-1.22)	1.34 (1.27-1.42)	1.85 (1.61-1.93)	
Th/U	1.6	5.9		2.22 (2.20-2.28)	3.23 (2.86-3.42)	2.66 (2.51-2.87)	
Y	20	35		16 (11-41)	18 (15-26)	25 (17.32)	41
Zr	70	100	118	67 (26-277)	121 (81-180)	93 (277-880)	205,
Cu			126	159 (40-416)	115 (12.237)	125 (35-93)	81
Ni	30	25	78	50 (4-340)	53 (9-145)	22 (12-46)	8
Co			43	24 (8-48)	19 (16-23)	12 (9-17)	4
V	270	255	266	290 (185-670)	218 (105-300)	120 (68-164)	35
Sc			33	25 (8-35)	26 (12-39)		
Cr	50	40	185	156 (2-608)	141 (13-440)	37 (23-72)	34

- (1) Tipik ada yayı toleyitik bazaltı, Jakes ve White (1972, Tablo 2b).
- (2) Tipik ada yayı kalkalkalen bazaltı, Jakes ve White (1972, Tablo 2b).
- (3) Ortalama olivin normatif alkali bazalt, Prinz (1967).
- (4) 33 ada yayı şoşonitik bazaltının ortalama ve

menzilleri, bu derleme için alınmıştır.

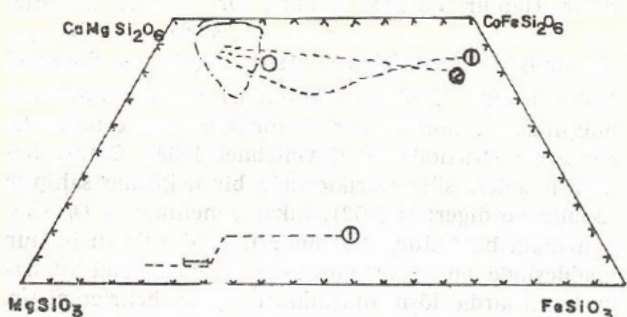
(5) 26 ada yayı bazaltik andezitinin ortalama ve menzilleri, bu derleme için alınmıştır.

(6) 7 ada yayı şoşonitik andezitinin ortalama ve menzilleri, bu derleme için alınmıştır.

(7) Bir ada yayı şoşonitik dasiti, bu derleme için alınmıştır.

emilmesinin bulunması ve lösinin rastgele sunulu-su alkali olivin bazalt birliğine yakınlığın belirtisidir.

Hamur maddesinde hipersten ve hornblendin sunulu-su, artık camın silisli niteliği ve olivinin yokluğu kalkalkalen birliği ile yakınlığı belirler. Ca'ca zengin klinopiroksenin bolluğu olivin fenokristallerinin



Şekil 3 — Piroksen dörtgeninde çizilmiş, şoşonit birliği için klinopiroksen, ortopiroksen ve olivin bileşimi. Şekil şoşonit birliğinde demir zenginleşmesinin bulunmadığını göstermektedir. Devamlı çizgi : şoşonit birliği; kesikli çizgiler : 1 — Skaergaard (Brown ve Vincent 1963); 2 — Japon alkali bazalt-trakit (Aok, 1964); 3 — Gough Adası alkali serisi (Le Maitre 1962). Şoşonit verileri Nicholls ve Cermichael (1969); Jolly (1971); Joplin ve diğerleri (1972); MacKenzie ve Chappell (1972) ve Keller (1974) den alınmıştır.

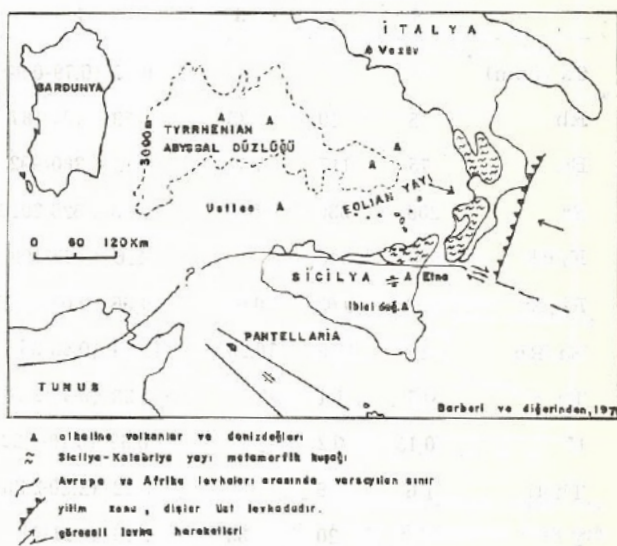
TEKTONİK YERLEŞME

Şoşonitik volkanların tektonik yerleşmesinin çeşitli örenkleri, genç orojenik alanlardaki çeşitli kaya birlikleri arasında sabit bir zaman ve mekân ilişkisinin olduğunu ve şoşonit birliğinin özel bir tektonik rejim sunduğunu gösterir.

Güney Tireniyen Denizindeki Eolian yayı (Şekil 4) Eurasia ve Afrika levhaları arasındaki karmaşık sınırların bir kısmıdır. Ada yayı, kıtasal meyil üzerindeki aktif bir kenar havzasını (Tireniyen abisal düzlüğü) doğuya doğru olan Sicilya-Kalabriya, yayının metamorfik kuşağından batıya doğru ayırmıştır (Barberi ve diğerleri, 1973). Eolian yayında son bir milyon yıl içindeki volkanizma kalkalkalenden yüksek K-kalkalkalene, odañ da şoşonitiğe değişmiştir. Volkanların uyumlu arazi zonlanması yoktur fakat birbirini izleyen K'ca daha zengin lavlar zaman içinde püskürmüştür. Bu da Benioff zonunun ilerleyen döküşmesini ortaya koyar (Barberi ve diğerleri 1974). Adaların birinde (Volcanello) oluşmuş lösit tefritler ve latitlerin, şoşonitik bazaltların düşük basınç fraksiyonları ürünü olduğu düşünülmüştür (Barberi ve diğerleri 1974). Eolian yayının dışındaki kimyasal ve izotopik olarak belirgin bir alkali bazalt-trakit birliği (örneğin Vezüv, Etna, Pantellaria) gerilmış faylanması ile ilgilidir (Barberi ve diğerleri 1973).

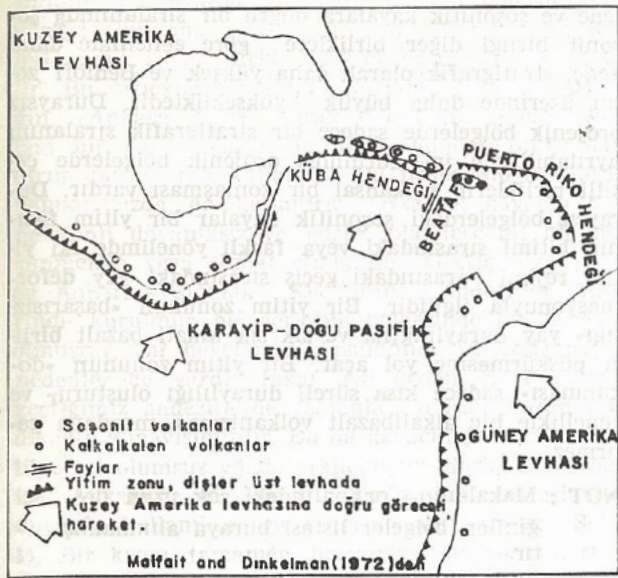
Puerto Rico'nun Üst Kretase tektonik yerleşmesi (Şekil 5 ve Malfait ve Dinkelman 1972) her nasılsa Eolian yayının bugünkü yerleşmesiyle karşılaştırılabilecek özelliktedir. Üst Kretase'de Puerto Rico, yaklaþan Kuzey ve Güney Amerika levhaları arasında uzanan Karayib-Doğu Pasifik levhasının bir kısmıdır. Puerto Rico güneye dalan bir Benioff zonu üzerinde uzanır ve Beata Fayına bitişiktir. Bu trench-transform olarak yorumlanmıştır (Malfait ve

Dinkelman 1972). Geç Kretase-Erken Tersiyer kalkalkalnen volkanik kayaları, blok faylanması ve başlıca Erken Kretase kalkalkalnen volkanik kayaları bileşiminde olan bir ada yayının yükselmesi sırasında bir çöküntü teknesinde depolanmış erken Üst Kretase şoşonitik kayalarını örter (Jully 1971; Mattsson 1973). Erken Kretase kalkalkalnen takımının kuzeye dalan bir yitim zonunun (Kuba Hendeði'nin devamı) üzerinde gelişmiş olması mümkünür ve blok faylanma, yükselme ve erken Geç Kretase'deki şoşonitik volkanizma, yitim zonunun hızlı döküşmesini ve Beata Fayının doğusuna olan muhtemel «dokunmasını» temsil ederler. Sonraki kalkalkalnen volkanizma güneye dalan bir yitim zonunun üzerinde oluşmuştur. Puerto Rico hendeði.



Şekil 4 — Güney Tireniyen Denizindeki tektonik ve güncel volkanizma (Barberi ve diğerleri 1974 ten alınmıştır). Şoşonit birliği sadece Eolian Yarında oluşmuştur. Alkalen volkanlar ve deniz dağları distansiyon faylanmasıyla ilgilidir.

Melanesia bölgesindeki karmaşık levha sınırı (Şekil 5) Pasifik ve Avustralya levhaları arasında, son 10 milyon yıl (D.S.D.P. Leg 30) içindeki oblik yaklaşmanın nedenidir. 10 milyon yıl öncesinde Pasifik levhası Avustralya levhasının altında yitilmiş ve ada yayı toleyitik ve kalkalkalnen kayalarının bir sıralanımını oluşturmuştur. Sadece Tonga-Kermadec bölgesinde hakim olarak kalkalkalnen takımı hâlâ oluşmaktadır. Başka yerlerde ise, yayın dönmesi ve parçalanmasıyla ilgili doğrultu atımlı ve gerilme faylarıyla ortaklaşa geniş bir bileşim geçişinin genellikle alkalic zengin kayaları (Johnson ve diğerleri 1976; Stanton ve Bell 1969; Colley ve Werden 1974) püskürmüştür (Hackman 1973; Gill ve Gorton 1973). Şoşonit birliğinin tektonik yerleşmesinin bu örneklerinden sağlam bir model ortaya çıkar. Hemen her durumda kalkalkalnen takımı bir birlik kaçınılmaz



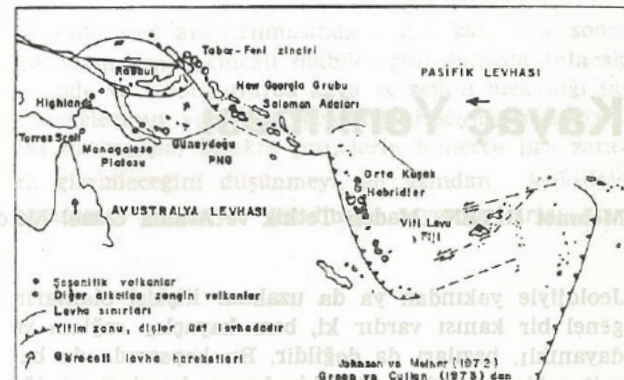
Şekil 5 — Karayıp Denizinde şoşonitik volkanizma sırasındaki tektonik ve volkan dağılımı (erken Geç Kretase). Erken Kretase'de Küba Hendeği Güney Amerika levhasına doğu yüzlü yitim zonuyla muhakkık temelen devamlıdır.

Yitim zonu, dişler Ust levhada, Kuzey Amerika levhasına doğru gören hareketin devamlılığıdır. Bu durumda K'ca zenginleşmişdir. Benioff zonunun daha derin kısmının üstünde demektirler. Oblik levha yakınlaşması alanlarında (... Fiji Eolian yayı) volkanik kaya oluşumları bulunmayabilir. Fakat birbiri ardına K'ca zengin kayalar daha genç ve stratigrafik olarak daha yüksektedirler. Bu durumda K zenginleşmesi zaman içinde Benioff zonunun dikleşmesiyle ilişkilidir.

Oblik levha yakınlaşması dönmeye ve ada yayalarında parçalanmaya neden olur. Dönme devam ettikçe yakınlaşma daha oblik olup, yitim zonu dikleşir ve doğrultu atımla hareket eğim atımlı harekete göre daha önemli olur (Karig 1974). Sonuç olarak yitim zonu «başarısız olur» veya «dokunur». Böyle bir tektonik geçiş genellikle yay içinde blok faylanma ve yükselmeye neden olur ve bu şoşonitik volkanizma için yaygın bir yerleşmedir (örneğin Papua Yeni Ginesi «başarısız yayı» Puerto Rico «dokunulmuş yayı») Bir dokunma yitim zonu farklı önemlilikdeki iki yitim rejimi arasındaki bir geçişin temsilcisidir. Halbuki «başarısız» bir yitim zonu, orojenik kruşagın daha ileri duraylılığına yol açar. Duraylılık, doygun olmayan kayaları içeren alkali bazalt birlüğinin püsürmesiyle beraber olabilir, aksi halde şoşonit birliği ile benzerdir (örneğin Yeni Güney Galler, Roma Komagmatik Nahiyesi).

ADA YAYLARI VE KITA KENARLARINDAKİ ŞOŞONİTİK KAYALARIN KARŞILAŞTIRILMASI

Forbes ve diğerleri (1969) ve Jakes ve White (1972), ada yayalarındaki Kalkalkalen kayaları ve kita kenarı yerleşmeleri arasındaki farklılıkların önemini belirtmişlerdir. Kita kenarlarındaki şoşonitik kayaların örneklerinden yalnız ikisi betimlenmiştir (Yellowstone Park ve Güney Andlar). Yellowstone Park örneklerinin ortalama analizleri (Tablo 2), ada yayı veriliyle karşılaştırılabilir niteliktedir. Fakat güney Peru'dan alınan örneklerin analizleri esaslı farklılıklar gösterirler. Güney Peru'dan alınan şoşonitik kayalar (Lefevre 1973) hakim olarak bazaltik andezitler ve andezitlerdir. Bunlar yoğun olarak yüksek TiO_2 , Na_2O , K_2O , P, Sr, Ba ve az NTE içerirler. CaO içerikleri ise esdeğer SiO_2 içerikli ada yayı kayalarından daha düşüktür. Kayalar genellikle ada yayındaki karşılıklarına göre daha çok ortopiroksen ve



Şekil 6 — Malinezya bölgesindeki tektonik ve güncel alkaliye zengin volkanizma. Levha sınırları Johnson ve Molnar (1972); Green ve Gullen (1973) ten alınmıştır. Şoşonitik volkanlar Viti Levu'dadır. Fiji (Gill 1970); Managalse Platosu (Ruxton 1966) ve Papua Yeni Ginesi Yükseltileri (MacKenzie ve Chapell 1972). Eosen-Alt Miyosen şoşonitik kayaları Finnesterre ve Adelbert Ranges'tedir. Kuzey Papua Yeni Ginesi (Jaques 1976). Çeşitli alkaliye zengin volkanlar Orta Kuşak'tadır. New Hebridler (Colley ve Warden 1974). New Georgia Grubu Solomon Adaları (Stanton ve Bell 1969). Tabor'dan Feni Zincirine kadar, Kuzey Papua Yeni Ginesi (Johnson ve diğerleri 1976). Rabaul New Britain (Heming 1974). Torres Strait (Willmott 1972), Güneydoğu Papua Yeni Ginesi (Smith 1976).

biyotit ve daha az olivin içerirler. Bu farklılıklar ayrıca, okyanus kabuğu üzerindeki ada yayalarının (örneğin Fiji), biçim değiştirmiş temel üzerindeki ada yaylarıyla (örneğin Papua Yeni Ginesi Yükseltileri) karşılaştırılmalarında da kanıtırlar. Yellowstone Park ve ada yayı şoşonitik kayalarının benzerliğini yukarıdaki gözümüne alarak, volkan-

ların altındaki kabuğun niteliğinin ve kalınlığının, kita kenarı ada yayı yerleşmesine göre daha önemli olacağını söyleyebiliriz.

TARTIŞMA VE SONUÇLAR

1 — Şoşonit ismi burada majör element kimyasına dayanarak tanımlanan bir kaya bırlığı için kullanılmıştır. Tanımlandığı gibi Şoşonit kaya bırlığı Yellowstone Park'ın absarokit-şoşonit-banakit serisini içerir. (Iddings 1895). Fakat Joplin'in (1963) doygun olmayan asbolumenmesini içermez.

2 — Şoşonit bırlığı, genelde hem kalkalkalen hem de alkali olivin bazalt bırlıklarıyle ortak kimyasal özelliklere sahiptir. Fakat kabarık bir kimyasal özellikler listesi ve ortalama analiz tablolari şoşonit bırlığının farklılığını gösterir.

3 — Toleyitikten kalkalkalene, yüksek K-kalkal-

lene ve şoşonitik kayalara doğru bir sıralanımda şoşonit bırlığı diğer bırlıklere göre genellikle daha genç, stratigrafik olarak daha yüksek ve Benioff zonu üzerinde daha büyük yüksekliktedir. Duraysız orojenik bölgelerde sadece bir stratigrafik sıralanım ayrılabılırken iyi kurulmuş orojenik bölgelerde çeşitli bırlıkların mekansal bir zonlaşması vardır. Duraysız bölgelerdeki şoşonitik kayalar bir yitim fazının bitimi sırasındaki veya farklı yönelimde iki yitim rejimi arasındaki geçiş sırasındaki yay deformasyonuyla ilgilidir. Bir yitim zonunun «başarılı» yay duraylılığına ve sık sık alkali bazalt bırlığı püskürmesine yol açar. Bir yitim zonunun «dokunması» sadece kısa süreli duraylılığı oluşturur ve genellikle hiç alkalibazalt volkanizması meydana getirmez.

NOT : Makalenin orjinalindeki çok uzun detaylı belgeler listesi buraya alınmamıştır.

Kayaç Yenilmesi

Mehmet BİTEN Maden Teşkilatı ve Arama Genel Müdürlüğü Fizibilite Dairesi, Ankara

Jeolojiyle yakından ya da uzaktan ilişkisi olanların genel bir kanısı vardır ki, bazı kayaçlar sağlam ve dayanıklı, bazıları da değildir. Bu kapsamında da bazalt sağlam ve dayanıklı bir kayaç, kumtaşı ve tuf daha az dayanıklı ve bozunmaya daha yatkın kayaçlardır. Bunu genelleyeceğ olursak; magmatik kayaçların çoğu sağlam ve dayanıklı, tortul kayaçların çoğu ise daha az dayanıklı, çabuk bozunan kayaçlardır deriz. Coğunda bu konuya ciddi bir göz ile bakılmadığından, yapılan değerlendirmelerin ekonomik boyutları göz ardı edilmektedir ve bu da bir mühendis için bağıstanamaz bir kusur olmaktadır.

Konuya ilgili bir mühendis olarak, bir heyelan bölgesinde toprak örtüsünün kalınlığına, yamaç eğimi, kayaçların yeraltı suyunu doygun olup olmamasına, ana kayacın cinsine, eklem sistemlerine, yüzeyden zemine yapılan yükleme miktarına ve özellikle bozunma zonlarının niteliğine bakarak, o bölgede neden heyelan olduğunu veya olabileceğini açıklamaya çalışırız. Yine bir deprem bölgesinde yerleşimin olmamasının gereğini veya varsa sakıncalarını belirtirken, o bölgenin önemli fay zonları üzerinde olmamasına, birinci ve ikinci derecedeki deprem bölgelerindeki yapıların zemin emniyet gerilmeleri hesaplamalarına, etkin volkanik bölgelerden uzak olunmasına, zeminin sağlam olmasına, yapının niteliğinin o yöreye uygun olarak seçilmesi gerektiği gibi benzeri uzmanlık sorularının yanıtlarını aramaya çalışırız. Bir yeraltı maden işletmesinde yapılan tahkimat için, yan kayacın dayanımı, süreksizlikle-

ri, masifliği, gerilmelere dayanımı gibi nitelikleri ile, yeraltı suyunun durumu, örtünün kalınlığı, üretim süresi gibi soruların yanıtları alınmaya çalışılır. Açık işletmede ise sev açısını belirlerken, yeraltı su düzeyinin konumu, yan kayacın duraylılık özellikleri ile kayaç veya zeminin jeoteknik değişkenlerinin açılığla kavuşturulması gereklidir. Aynı şekilde, büyük küçük her türlü yapının yapılmasında deprem indekslerine, zemin incelemelerine, yapının niteliğine, malzemenin cinsine, mimari projeye ve benzeri sorumlara açıklık getirilmeye çalışılır.

Yukarıda belirtmeye çalıştığımız tüm bu projelerdeki ortak sorun, kayacın sağlamlık ve dayanıklılığının ne ölçüde olduğunun bilinmesidir. Bu ise, ancak bu projelerde kaya ve zemin incelemelerinin yapılması ile sağlanabilir. Bu projelerde kaya ve zemin incelemeleri yapılmışsa, sorulara aranan gerekli yanıtlar bulunmuştur. Eğer bu incelemeler yapılmamışsa elimizdeki genel bilgi ve kanılar yeterli olabilecek midir? Şu projede bu incelemeler yapıldı, bu da benzer proje, benzer kayaç, aynı değerleri kullanabiliriz olur biter demek yeterli midir? İşte asıl sorun burada yatmaktadır. Benzer saha, benzer kayaç, benzer proje ve benzer kanılar... Yaptığımız bu genellemeler bizleri istemeden yanlışlara götürür. Konuyu fazla karışık hale getirmeden, doğanın ayrı cinstenliğini unutmadan, aynı kayacın başka bir yerde aynı özelliklerde bulunamayacağını hatırlada tutmamız gereklidir. Sağlam olarak bildiğimiz bir kayaç bir bölgede sağlamken, başka bir bölgede bo-